

Рис. V-7. Области концентрации на диаграмме $x - y$ в случае разделения азеотропной смеси при двух разных давлениях:
 а — для компонентов, образующих азеотропную смесь с минимумом температуры кипения;
 б — то же, с максимумом

став азеотропной смеси $x_{аз₁}$ при давлении π_1 существенно отличается от состава азеотропной смеси $x_{аз₂}$ при давлении π_2 . При этом вся площадь диаграммы $x-y$ разделяется на две области, в одной из которых может быть выделен компонент w и смесь близкого к азеотропному состава $x_{аз₁}$ при давлении π_1 , а в другой — компонент a и смесь близкого к азеотропному состава $x_{аз₂}$ при давлении π_2 .

На рис. V-8 приведены технологические схемы ректификации азеотропной смеси при двух разных давлениях.

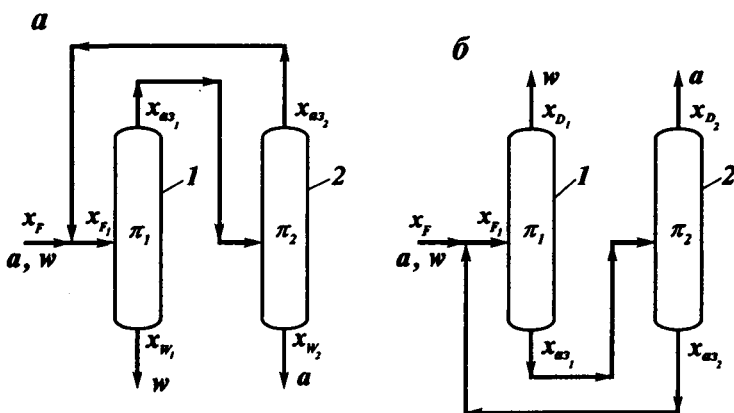


Рис. V-8. Принципиальные технологические схемы разделения азеотропной смеси при двух разных давлениях:
 а — для смеси с минимумом температуры кипения; б — то же, с максимумом; 1, 2 — колонны